

## ЧИСЛЕННОЕ ИССЛЕДОВАНИЕ ВЛИЯНИЯ ГРАВИТАЦИОННОЙ КОНВЕКЦИИ НА ПРОЦЕССЫ ГЕТЕРОГЕННОГО ВОСПЛАМЕНЕНИЯ

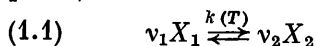
К. В. ПРИВЫТКОВА, С. И. ХУДЯЕВ, Э. А. ШТЕССЕЛЬ

(Москва)

В работе численным методом исследуется влияние свободного конвективного движения газа на процесс гетерогенного воспламенения. Получена зависимость критического условия воспламенения от интенсивности конвекции. Исследованы структура течения при различных параметрах и особенности процесса воспламенения. Отмечается очаговый характер воспламенения с последующим переходом всей поверхности катализатора в высокотемпературную область посредством бегущей по катализатору волны горения.

Д. А. Франк-Каменецким [1] в рамках метода равнодоступной поверхности был рассмотрен вопрос о стационарных тепловых режимах каталитической поверхности. Были найдены два стационарных тепловых режима экзотермической гетерогенной реакции: один, отвечающий малым разогревам (кинетической области), другой — большим разогревам (диффузионной области). Однако в определенных условиях [2-4] над катализатором может возникнуть естественно-конвективное движение, приводящее к нарушению равнодоступности. Естественно предположить, что возникшая гравитационная конвекция должна изменить закономерности перехода от одного стационарного режима к другому. В реальных химических реакторах, использующих гетерогенную каталитическую реакцию, реакционная смесь обычно продувается через катализатор. В этом случае необходимо учитывать смешанную конвекцию. Вместе с тем известно [5], что закономерности теплообмена с достаточной точностью могут определяться либо вынужденной, либо естественной конвекцией, так как область смешанной конвекции весьма узка. В связи с этим представляется целесообразным изучение влияния только естественной конвекции на протекание гетерогенной каталитической реакции.

**1. Постановка задачи.** Рассматривается бесконечная горизонтальная труба квадратного сечения, заполненная газом и ограниченная твердыми поверхностями. Вдоль оси трубы все свойства газа считаются неизменными. На верхней поверхности трубы поддерживаются постоянные значения температуры и концентрации исходного вещества. Нижняя поверхность теплоизолирована от внешней среды и на ней протекает каталитическая реакция



Здесь  $X_1$  — условное обозначение исходного вещества,  $X_2$  — продукта реакции,  $\nu_1, \nu_2$  — стехиометрические коэффициенты,  $k(T)$  — константа скорости реакции при данной температуре.

Боковые поверхности теплоизолированы и непроницаемы для вещества. В начальный момент времени газ в трубе покоится, его температура и концентрация равны соответственно температуре и концентрации на верхней поверхности.

В силу того что рассматриваются реакции типа (1.1), реакционная смесь является бинарной. В зависимости от конкретной реакции могут осуществляться процессы синтеза либо распада. В результате реакции типа синтеза получается тяжелый продукт, при распаде — более легкий. Кроме того, следует учесть, что реакция протекает на катализаторе с вы-

делением или поглощением тепла. Наличие реакции, таким образом, приводит к возникновению градиентов температуры и концентрации. Очевидно, что в данном случае необходимо учитывать как тепловую, так и концентрационную конвекцию.

В приближении Буссинеска описывающие процесс безразмерные уравнения и граничные условия [1] имеют вид

$$(1.2) \quad \frac{\partial a}{\partial \tau} + \text{Pr } \mathbf{v} \nabla a = \Delta a$$

$$(1.3) \quad \frac{\partial \theta}{\partial \tau} + \text{Pr } \mathbf{v} \nabla \theta = L \Delta \theta, \quad L = 1/Le$$

$$(1.4) \quad \frac{\partial \mathbf{v}}{\partial \tau} + \text{Pr } \mathbf{v} \nabla \mathbf{v} = -\nabla p + \text{Pr } \Delta \mathbf{v} + (\text{Ra}_1 \theta + \text{Ra}_2 a) \mathbf{e}_1$$

$$(1.5) \quad \text{div } \mathbf{v} = 0 \\ \mathbf{v} = 0, \quad a = \theta = 0, \quad y = 1$$

$$v = 0, \quad -\frac{\partial a}{\partial y} = \gamma(1-a) \exp \frac{\theta}{1+\beta\theta}$$

$$-\frac{\partial \theta}{\partial y} = \text{Fk}(1-a) \exp \frac{\theta}{1+\beta\theta}, \quad y = 0$$

$$v = 0, \quad \partial a / \partial x = 0, \quad \partial \theta / \partial x = 0, \quad x = 0, \quad x = 1$$

$$v = 0, \quad a = \theta = 0, \quad \tau = 0$$

Здесь  $\mathbf{v}$  — вектор скорости,  $p$  — давление,  $a$  — концентрация продукта,  $\theta$  — разогрев,  $\tau$  — время; выбраны следующие масштабы; длины —  $h$ , скорости —  $v/h$ , температуры —  $RT_0^2/E$ , давления —  $\rho_0 v D / h^2$ , времени —  $h^2 D$ .

В системе (1.2) — (1.5) семь безразмерных параметров — число Прандтля  $\text{Pr}$ , число Льюиса  $Le$ , критерий Рэлея  $\text{Ra}_1$ , концентрационный аналог критерия Рэлея  $\text{Ra}_2$ , параметр Франк-Каменецкого для гетерогенной каталитической реакции  $\text{Fk}$  (ср. [1]), параметр  $\gamma$ , характеризующий отношение скорости реакции к скорости диффузии, параметр  $\beta$ :

$$\text{Pr} = \nu / D, \quad Le = D / \kappa, \quad \beta = RT_0 / E, \quad \text{Ra}_2 = g \beta_1 h^3 / \nu D,$$

$$\text{Ra}_1 = \frac{g \varphi}{\nu D} \frac{RT_0^2}{E} h^3, \quad \text{Fk} = \frac{Q}{\lambda_1} \frac{E}{RT_0^2} h k_0 \exp \left( -\frac{E}{RT_0} \right)$$

$$\gamma = \frac{k_0 \exp(-E/RT_0) h}{D}$$

Здесь  $h$  — сторона квадрата,  $\nu$  — коэффициент кинематической вязкости,  $D$  — коэффициент диффузии,  $\kappa$  — коэффициент температуропроводности,  $g$  — ускорение силы тяжести,  $\varphi$  — коэффициент объемного расширения,  $R$  — универсальная газовая постоянная,  $E$  — энергия активации,  $\rho_0$  — плотность, соответствующая начальному состоянию смеси,  $T_0$  — температура на верхней стенке,  $\beta_1$  — диффузионный аналог коэффициента объемного расширения,  $Q$  — тепловой эффект реакции,  $\lambda_1$  — коэффициент теплопроводности,  $k_0$  — предэкспонент,  $\mathbf{e}_1$  — единичный вектор, направленный противоположно вектору  $g$ .

При решении задачи используется иная форма уравнений, начальных и граничных условий, широко применяемая при расчетах естественной конвекции [6, 7]. Система (1.2) — (1.5) записывается в переменных кон-

центрация, разогрев, вихрь, функция тока

$$(1.6) \quad \frac{\partial a}{\partial \tau} + \text{Pr} \frac{\partial \psi}{\partial y} \frac{\partial a}{\partial x} - \text{Pr} \frac{\partial \psi}{\partial x} \frac{\partial a}{\partial y} = \frac{\partial^2 a}{\partial x^2} + \frac{\partial^2 a}{\partial y^2}$$

$$(1.7) \quad \frac{\partial \theta}{\partial \tau} + \text{Pr} \frac{\partial \psi}{\partial y} \frac{\partial \theta}{\partial x} - \text{Pr} \frac{\partial \psi}{\partial x} \frac{\partial \theta}{\partial y} = L \left( \frac{\partial^2 \theta}{\partial x^2} + \frac{\partial^2 \theta}{\partial y^2} \right)$$

$$(1.8) \quad \frac{\partial \Sigma}{\partial \tau} + \text{Pr} \frac{\partial \psi}{\partial y} \frac{\partial \Sigma}{\partial x} - \text{Pr} \frac{\partial \psi}{\partial x} \frac{\partial \Sigma}{\partial y} = \text{Pr} \left( \frac{\partial^2 \Sigma}{\partial x^2} + \frac{\partial^2 \Sigma}{\partial y^2} \right) + \text{Ra}_1 \frac{\partial \theta}{\partial x} + \text{Ra}_2 \frac{\partial a}{\partial x}$$

$$(1.9) \quad -\Sigma = \frac{\partial^2 \psi}{\partial x^2} + \frac{\partial^2 \psi}{\partial y^2}$$

$$(1.10) \quad \Sigma = -\partial^2 \psi / \partial y^2, \quad a = \theta = 0, \quad y = 1$$

$$(1.11) \quad \Sigma = -\frac{\partial^2 \psi}{\partial y^2}, \quad -\frac{\partial a}{\partial y} = \gamma(1-a) \exp \frac{\theta}{1+\beta\theta}$$

$$-\frac{\partial \theta}{\partial y} = \text{Fk}(1-a) \exp \frac{\theta}{1+\beta\theta}, \quad y = 0$$

$$(1.12) \quad \Sigma = -\partial^2 \psi / \partial x^2, \quad \partial a / \partial x = 0, \quad \partial \theta / \partial x = 0, \quad x = 0, \quad x = 1$$

$$(1.13) \quad \Sigma = 0, \quad a = \theta = 0, \quad \tau = 0.$$

Система (1.6)–(1.9) получена из системы (1.2)–(1.5) путем исключения давления. Функция тока  $\psi$  и вихрь  $\Sigma$  введены соотношениями

$$\partial \psi / \partial y = u, \quad \partial \psi / \partial x = -v, \quad \Sigma = \partial v / \partial x - \partial u / \partial y$$

где  $u, v$  — составляющие скорости в проекциях на оси  $x$  и  $y$ .

**2. Метод решения.** Используется метод сеток. Производные по времени заменяются односторонними разностями, производные по координатам — центральными. Коэффициенты  $\partial \psi / \partial y, \partial \psi / \partial x$  в уравнениях (1.6)–(1.8) считаются в предыдущий момент времени, производные  $\partial a / \partial x, \partial \theta / \partial x$  в уравнении для вихря  $\Sigma$  — в рассматриваемый момент времени. Порядок счета уравнений соответствует порядку их написания. Для решения разностных уравнений, соответствующих уравнениям параболического типа (1.6)–(1.8), применяется вариант метода переменных направлений, аналогичный изложенному в [8].

Граничные условия аппроксимируются с точностью  $h_1^2$ . При аппроксимации граничных условий для  $\Sigma$  учитывается, что на границе области  $\psi = 0, u = \partial \psi / \partial y = 0, v = -\partial \psi / \partial x = 0$ . Граничные условия при  $y = 0$  для концентрации и разогрева согласованы, т. е. при записи конечно-разностного аналога сохраняется дифференциальное свойство (см. (1.11))

$$(\partial \theta / \partial y) / (\partial a / \partial y) |_{y=0} = \text{Fk} / \gamma$$

В выражении  $(1-a) \exp[\theta / (1+\beta\theta)]$   $a$  и  $\theta$  берутся в рассматриваемый момент времени. При этом счет организован так, что процесс итераций, необходимый для расчета граничных значений  $a$  и  $\theta$ , не затрагивает внутренних точек сетки.

Для решения уравнения (1.9) применяется вариант метода последовательной верхней релаксации, сохраняющий симметрию  $\psi$  относительно прямой  $x = 1/2$  при симметричных начальных возмущениях (см. [9]). Как показал опыт счета [9], такая реализация метода последовательной верхней релаксации значительно ускоряет сходимость итераций по сравнению с обычно применяемой (см., например, [7, 10]). При интенсивных течениях (больших  $\psi$ ) более экономичным показал себя метод блочной итерации ([10], стр. 300). Точность счета уравнения (1.9) контролируется путем вычисления невязки.

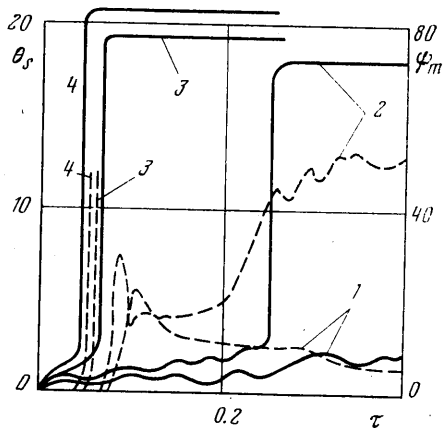
**3. Результаты расчетов.** Целью расчетов является определение вида функции

$$(3.1) \quad Fk_* = f(Ra_1, Ra_2, Pr, Le, \beta, \gamma)$$

где  $Fk_*$  — критическое значение параметра  $Fk$  на пределе воспламенения. Расчеты проводились при  $Pr=Le=1, \beta=0$ . Числа Рэлея изменялись в пределах:  $0 < Ra_1 \leq 5 \cdot 10^5, -2.5 \cdot 10^5 \leq Ra_2 \leq 5 \cdot 10^5, 0.03 \leq \gamma \leq 0.1$ . Вид функции (3.1) можно определить из анализа зависимостей максимальной температуры  $\theta_m$  от времени при различных значениях  $Fk, \gamma, Ra_1$  и  $Ra_2$ .

На фиг. 1 сплошной линией дана зависимость максимальной температуры  $\theta_m$  от времени при  $Ra_1=2.5 \cdot 10^5, Ra_2=1.25 \cdot 10^5, \gamma=0.1$  и различных значениях  $Fk=1.7; 1.8; 1.95; 2.1$  (кривые 1–4), пунктирными линиями даны соответствующие максимальные значения функции тока.

Кривая 1 соответствует разогреву катализатора, на котором реакция протекает в кинетической области. При увеличении параметра  $Fk$  (кривые 2–4) наблюдается достаточно резкий переход из кинетической области в диффузионную (воспламенение). При этом разогрев катализатора достигает величин  $\theta_m \approx Fk/\gamma$ . Как следует из фиг. 1, наличие конвекции приводит к увеличению параметра  $Fk_*$  по сравнению с параметром  $Fk_0$ , определяющим критическое условие гетерогенного воспламенения при отсутствии конвекции ( $Fk_0 \approx 1/e + \gamma$ ) [4]. Физически это легко объяснимо, так как развивающаяся за счет реакции на катализаторе естественная конвекция интенсифицирует теплоотвод, затрудняя тем самым переход реакции в диффузионную область. Показанные на этом рисунке пунктирными линиями функции тока иллюстрируют также слабую зависимость периода индукции (время развития) конвекции от величины параметра  $Fk$ . Расчеты показывают, что в основном период индукции конвекции определяется числами  $Ra_1$  и  $Ra_2$ . При увеличении параметра  $Fk$  над пределом воспламенения возможны режимы, при которых переход в диффузионную область происходит раньше, чем конвекция успевает развиваться.



Фиг. 1

При  $Pr=Le=1$  (см. (1.6), (1.7), (1.11) поля температур и концентраций подобны,  $a = \gamma/Fk \theta$ . При этом из уравнения (1.8) следует, что естественная конвекция должна характеризоваться комплексом (ср. [4])

$$(3.2) \quad Rk = Ra_1 + \gamma Fk^{-1} Ra_2$$

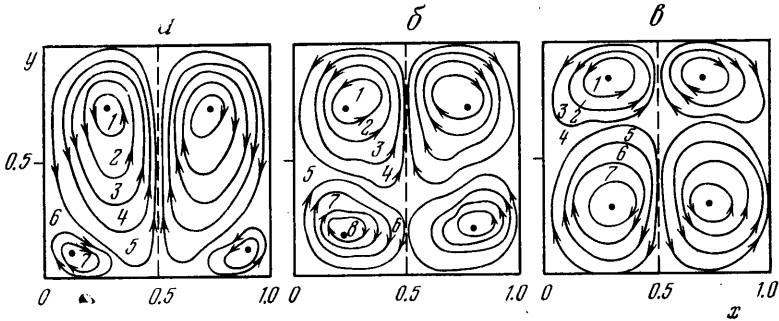
Поэтому критические условия воспламенения естественно искать в виде неявной зависимости  $Fk/Fk_0 = \varphi(Rk)$ . Вид функции удалось получить из анализа численных расчетов, и для нахождения критического значения  $Fk = Fk_*$  предлагается уравнение

$$(3.3) \quad \frac{Fk}{Fk_0} = 1 + \frac{0.141 Rk^{3/4}}{0.141 \cdot 10^5 + Rk}, \quad Fk_0 \approx \frac{1}{e} + \gamma, \quad \gamma \ll \frac{1}{e^2}$$

Условие возникновения конвекции, найденное в [4] в виде  $Rk_* \geq \text{const} > 0$ , говорит о том, что при исследовании развитой конвекции следует исключить из рассмотрения область  $Rk < 0$ , хотя по смыслу  $Ra_2$  может

быть как положительным, так и отрицательным. При расчетах комплекс  $Rk$  изменялся в пределах  $0 < Rk \leq 5 \cdot 10^5$ .

Следует отметить, что хотя здесь рассматривается труба квадратного сечения, для анализа условий возникновения конвекции при малых возмущениях механического равновесия в силу заданных граничных условий на боковых границах получается формально та же самая задача, что и для



Фиг. 2

плоского горизонтального слоя, и найденное в [4] условие возникновения конвекции может только увеличиться.

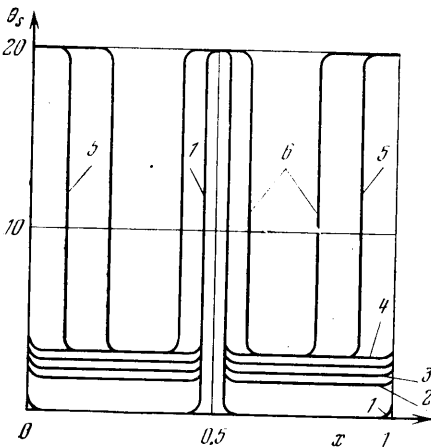
Ниже для иллюстрации приведены критические значения параметра Франк-Каменецкого при  $Fk_0 = 0.468$ ,  $\gamma = 0.1$  и различных значениях  $Ra_1$  и  $Ra_2$

|        |                   |                    |                   |                   |                   |
|--------|-------------------|--------------------|-------------------|-------------------|-------------------|
| $Ra_1$ | $5 \cdot 10^4$    | $5 \cdot 10^4$     | $1 \cdot 10^5$    | $2.5 \cdot 10^5$  | $5 \cdot 10^5$    |
| $Ra_2$ | $-2.5 \cdot 10^5$ | $-1.25 \cdot 10^5$ | $1.25 \cdot 10^5$ | $-2.5 \cdot 10^5$ | $1.25 \cdot 10^5$ |
| $Fk_*$ | 0.97              | 1.1                | 1.55              | 1.7               | 2.2               |

Видно, что естественная конвекция увеличивает  $Fk_*$  в несколько раз.

Процесс перехода режима работы катализатора в диффузионную область при наличии конвекции обладает рядом интересных особенностей, во многом определяемых моделями конвективных течений. С начального момента времени тепло- и массообмен с катализатором происходит в неподвижной среде. Затем через определенное время — период индукции — возникает естественно-конвективное движение, имеющее двухвихревую структуру. Это движение приводит к перераспределению температуры вдоль поверхности катализатора.

В дальнейшем происходит образование двухъярусной конвективной модели течения. Такие структуры конвективных течений непосредственно в процессе перехода режима работы катализатора в диффузионную область показаны на фиг. 2, а-в при значениях  $Fk = 1.95$ ,  $\gamma = 0.1$ ;  $Ra_1 = 2.5 \cdot 10^5$ ;  $Ra_2 = 1.25 \cdot 10^5$  для различных моментов времени:  $9.34 \cdot 10^{-2}$ ,  $9.67 \cdot 10^{-2}$ ,  $0.1026$ . Изображенные на фиг. 2, а-в линии  $\psi = \text{const}$  соответ-



Фиг. 3

ствуют следующим значениям: на фиг. 2, а 1 — 50, 2 — 40, 3 — 20, 4 — 10, 5 — 3, 6 — —1, 7 — —3, на фиг. 2, б 1 — 40, 2 — 30, 3 — 10, 4 — 5, 5 — —5, 6 — —10, 7 — —30, 8 — —40, на фиг. 2, в 1 — 20, 2 — 10, 3 — 3, 4 — —20, 5 — —40, 6 — —60, 7 — —90.

Наличие ячеистых конвективных течений приводит к нарушению равностности поверхности катализатора. В области подъемных конвективных течений локальный градиент температуры у нижней поверхности меньше, чем в других сечениях. Это является причиной того, что вначале воспламенение происходит лишь в небольшой области катализатора, соответствующей подъемному течению (фиг. 3, кривая 1). Затем переход в диффузионную область осуществляется также в двух концевых точках (фиг. 3, кривая 5). В последующие моменты времени от горячих точек начинает распространяться волна горения, и поверхность катализатора полностью переходит в высокотемпературную область (фиг. 3, кривая 6).

Таким образом, своеобразие гетерогенного воспламенения при наличии естественной конвекции заключается в очаговом характере воспламенения с последующим переходом всей поверхности катализатора в высокотемпературную область посредством бегущей по катализатору волны горения.

Поступила 14 VII 1978

#### ЛИТЕРАТУРА

1. Франк-Каменецкий Д. А. Диффузия и теплопередача в химической кинетике. М., «Наука», 1967.
2. Прибыткова К. В., Штессель Э. А. Влияние гравитационной конвекции на протекание гетерогенной каталитической реакции в изотермических условиях. Инж.-физ. ж., 1976, т. 30, № 2.
3. Гершуни Г. З., Жуховицкий Е. М. Конвективная устойчивость. Итоги науки и техники. ВИНТИ АН СССР. Сер. Мех. жидкости и газа, 1978, т. 11.
4. Прибыткова К. В., Худяев С. И., Штессель Э. А. Условия возникновения свободной конвекции при протекании гетерогенной каталитической реакции. Инж.-физ. ж., 1978, т. 34, № 5.
5. Эккерт Э. Р., Дрейк Р. М. Теория тепло- и массообмена, М.—Л., Госэнергоиздат, 1961.
6. Грязнов В. Л., Полежаев В. И. Численное моделирование турбулентного режима конвекции в вертикальном слое. Изв. АН СССР. МЖГ, 1977, № 5.
7. Aziz K., Hellums I. D. Numerical solution of the three-dimensional equations of motion for laminar nature convection. Phys. Fluids, 1967, vol. 10, No. 2.
8. Штессель Э. А., Прибыткова К. В., Мержанов А. Г. Численное решение задачи о тепловом взрыве с учетом свободной конвекции. Физика горения и взрыва, 1971, т. 7, № 2.
9. Прибыткова К. В., Худяев С. И., Штессель Э. А. Исследование теплового самовоспламенения в условиях естественной конвекции. В сб.: Тепломассообмен-5. Матер. 5 Всес. конф. по тепломассообмену, т. 2. Минск, 1976.
10. Саульев В. К. Интегрирование уравнений параболического типа методом сеток. М., Физматгиз, 1960.